

Simetrías Algebraicas en Geometría y Arquitectura: Un Enfoque desde Grupos de Transformaciones

Algebraic Symmetries in Geometry and Architecture: A Group-Theoretic Approach

Reinaldo Valeris (rvaleris@gmail.com)

Departamento de ingeniería, Facultad ingeniería

Universidad UJGH

Maracaibo, Zulia, Venezuela

Yacrianny Belandria Ch. (yaribelandria67@gmail.com)

Departamento de ingeniería, Facultad ingeniería

Universidad UJGH

Maracaibo, Zulia, Venezuela

Resumen

Este artículo desarrolla un marco teórico algebraico-geométrico para el estudio de simetrías centrales, axiales y rotacionales en \mathbb{R}^2 y \mathbb{R}^3 , con aplicaciones en la clasificación de cónicas y superficies cuadráticas mediante grupos de transformaciones. Se emplea una metodología analítica basada en teoría de grupos e invariantes geométricos, complementada con modelado numérico mediante el Método de Elementos Finitos. Como resultado, se demuestra que la simetría D_8 del Panteón de Agripa optimiza estructuralmente la distribución de tensiones, mientras que la simetría hexagonal $\rho_{\pi/3}$ del Museo Soumaya ofrece ventajas estéticas y estructurales. El enfoque establece un vínculo riguroso entre abstracción algebraica, geometría y diseño arquitectónico.

Palabras y frases clave: Geometría arquitectónica, Simetría axial, Grupos diedrales, Superficies cuadráticas, Elementos Finitos.

Abstract

This article develops an algebraic-geometric theoretical framework for the study of central, axial, and rotational symmetries in \mathbb{R}^2 and \mathbb{R}^3 , with applications in the classification of conic and quadric surfaces through transformation groups. An analytical methodology based on group theory and geometric invariants is employed, complemented by numerical modeling using the Finite Element Method. As a result, it is demonstrated that the D_8 symmetry of the Pantheon structurally optimizes stress distribution, while the hexagonal symmetry $\rho_{\pi/3}$ of the Soumaya Museum offers both aesthetic and structural advantages. The approach establishes a rigorous link between algebraic abstraction, geometry, and architectural design.

Key words and phrases: Architectural Geometry, Axial Symmetry, Dihedral Groups, Quadric Surfaces, Finite Element Method.

Recibido ***. Revisado ***. Aceptado ***. Publicado en línea: ***
MSC (2010): Primary ****; Secondary ****.

Autor de correspondencia: Nombre del autor de correspondencia

1 Introducción

La simetría, más allá de su intuitiva percepción estética, constituye un concepto fundamental para describir la invariabilidad de las formas, tanto en el mundo físico como en su representación mental. Formalmente, un objeto $\mathcal{F} \subset \mathbb{R}^n$ posee simetría cuando existe un grupo de transformaciones $G = \{g_1, \dots, g_k\}$ que actúa sobre \mathcal{F} preservando su estructura. Desde la perspectiva de la percepción humana, esta constancia, denominada constancia perceptual, es esencial para actividades como el reconocimiento de objetos o la navegación espacial, ya que permite que las propiedades geométricas permanezcan estables frente a transformaciones como rotaciones o cambios de perspectiva [1].

Este principio, que vincula percepción humana y geometría, se aplica aquí mediante restricciones geométricas [2] para analizar estructuras arquitectónicas. Este enfoque práctico permite ajustar coordenadas mientras se preservan las propiedades simétricas del objeto, vinculando así el formalismo abstracto con aplicaciones concretas. La relación entre simetría y geometría encuentra su fundamento teórico en principios como el Teorema de Noether, que establece un puente entre las invarianzas de los sistemas físicos y sus leyes de conservación.

El artículo se estructura en tres partes: (i) fundamentos algebraicos de simetrías en \mathbb{R}^2 y \mathbb{R}^3 , en los cuales se muestran algunas secciones cónicas, superficies cuadráticas y definiciones de grupos de transformaciones, (ii) propiedades que nos permiten caracterizar cuando una sección o superficie es simétrica, y (iii) modelado de casos de estudio como el Panteón (D_{8h}) y el Museo Soumaya ($\langle\rho_{2\pi/6}\rangle$), estudiando además, la ventaja estructural de la simetría comparando D_2 con un módulo asimétrico.

2 Preliminares matemáticos

La caracterización algebraica de figuras geométricas mediante ecuaciones es un pilar de la geometría analítica moderna. Esta aproximación permite estudiar propiedades topológicas y métricas a través de sistemas de ecuaciones polinómicas, estableciendo un puente entre el álgebra y la geometría. En este trabajo, nos centramos en dos clases fundamentales:

2.1 Secciones cónicas

Las secciones cónicas han sido estudiadas desde una perspectiva algebraica contemporánea en [10], donde se demuestra que pueden caracterizarse completamente mediante invariantes de grupos de transformaciones. Presentamos las definiciones clave:

Definición 2.1 (Circunferencia). El lugar geométrico de puntos (x, y) equidistantes a un centro (h, k) satisface:

$$(x - h)^2 + (y - k)^2 = r^2 \quad (2.1)$$

Esta ecuación surge como caso particular de la forma cuadrática general

$$Ax^2 + Bxy + Cy^2 + Dx + Ey + F = 0$$

cuando $B^2 - 4AC < 0$ y $A = C$.

Definición 2.2 (Elipse). Dados focos F_1, F_2 y constante $2a$, la elipse cumple:

$$\frac{(x-h)^2}{a^2} + \frac{(y-k)^2}{b^2} = 1 \quad \text{con} \quad b^2 = a^2 - c^2 \quad (2.2)$$

donde c es la semidistancia focal. La condición $2a > d(F_1, F_2)$ asegura la existencia de soluciones reales.

Las definiciones de parábola e hipérbola siguen análogamente como casos límite de la ecuación general cuando $B^2 - 4AC \geq 0$ o > 0 respectivamente .

2.2 Superficies cuadráticas

La generalización tridimensional de las cónicas ha sido sistematizada recientemente por [6] mediante el estudio de formas cuadráticas en \mathbb{R}^3 . Destacamos:

Definición 2.3. Una esfera es el lugar geométrico de todos los puntos en el espacio que se encuentran a una distancia fija, llamada radio, de un punto fijo denominado centro. La esfera es una superficie cerrada y simétrica respecto a cualquier plano que pase por su centro.

$$(x-h)^2 + (y-k)^2 + (z-j)^2 = r^2 \quad (2.3)$$

donde (h, k, j) son las coordenadas del centro y r es el radio.

Definición 2.4. El elipsoide es el conjunto de puntos en el espacio cuya suma de distancias a tres ejes ortogonales es constante. Se trata de una generalización de la esfera, donde los radios pueden ser distintos en cada dirección, dando lugar a una forma alargada o achatada.

$$\frac{(x-h)^2}{a^2} + \frac{(y-k)^2}{b^2} + \frac{(z-j)^2}{c^2} = 1 \quad (2.4)$$

Definición 2.5. Un paraboloide elíptico es el lugar geométrico de los puntos en el espacio cuya distancia a un plano fijo es proporcional al cuadrado de su distancia a una línea fija en ese plano. Sus secciones paralelas a su eje de simetría son parábolas, mientras que las secciones perpendiculares son elipses.

$$c(z-j) = \frac{(x-h)^2}{a^2} + \frac{(y-k)^2}{b^2} \quad (2.5)$$

Definición 2.6. Un paraboloide hiperbólico es el conjunto de puntos en el espacio cuya distancia a un plano fijo de manera proporcional al cuadrado de su distancia a dos líneas fijas en ese plano, pero con signos opuestos. Sus secciones paralelas a su eje de simetría son parábolas, mientras que las secciones perpendiculares son hipérbolas, dándole su característica forma de "silla de montar".

$$c(z-j) = \frac{(x-h)^2}{a^2} - \frac{(y-k)^2}{b^2} \quad (2.6)$$

Definición 2.7. Un hiperboloide de una hoja es el lugar geométrico de los puntos en el espacio cuya diferencia de distancias a dos planos paralelos es constante. Se caracteriza por ser una superficie reglada, lo que significa que por cada punto de la superficie pasan dos rectas generatrices. Su ecuación general es

$$\frac{(x-h)^2}{a^2} + \frac{(y-k)^2}{b^2} - \frac{(z-j)^2}{c^2} = 1. \quad (2.7)$$

Definición 2.8. Una hipérbola de dos hojas es el conjunto de puntos en el espacio cuya diferencia de distancias a dos planos paralelos es constante, pero con una separación mayor que en el caso de una hoja. Su ecuación canónica es

$$-\frac{(x-h)^2}{a^2} - \frac{(y-k)^2}{b^2} + \frac{(z-j)^2}{c^2} = 1 \quad (2.8)$$

y esta compuesta por dos partes separadas, cada una con curvatura positiva en todos sus puntos.

2.3 Grupos de transformaciones

Los grupos discretos D_n (diedrales) y continuos $O(3)$ (ortogonales) son fundamentales para clasificar simetrías:

- D_n : Grupo de simetrías de un n -ágono regular (rotaciones $\rho_{2\pi/n}$ y reflexiones).
- $O(3)$: Grupo de matrices 3×3 que preservan distancias (rotaciones y reflexiones en \mathbb{R}^3).

Estos grupos actúan naturalmente sobre cónicas y cuadráticas. Por ejemplo, una esfera y un elipsoide tiene grupo de simetría $O(3)$, de hecho, toda superficie cuadrática no degenerada en \mathbb{R}^3 es isométrica a uno de estos casos canónicos ya definidos.

3 Grupos de simetría en \mathbb{R}^2 y \mathbb{R}^3

Definición 3.1. Una figura \mathcal{F} es simétrica con respecto a un punto $O \in \mathbb{R}^2$ si para cada punto $P \in \mathcal{F}$ existe un punto $P^* \in \mathcal{F}$ tal que

- P, O, P^* están en la misma línea (son colineales)
- $d(P, O) = d(P^*, O)$

Entonces, O es centro de simetría de \mathcal{F}

Teorema 3.1. Si $P = (p_1, p_2) \in \mathcal{F} \implies P^* = (-p_1, -p_2) \in \mathcal{F}$ si y solo si \mathcal{F} tiene simetría central en $O = (0, 0)$

Prueba. La recta que contiene a los segmentos \overline{OP} y $\overline{OP^*}$ tiene la misma pendiente

$$m = \frac{p_2 - 0}{p_1 - 0} = \frac{p_2}{p_1}$$

y por lo tanto son colineales. Con eso se puede probar la primera condición. Para probar la segunda basta con verificar

$$d(P, O) = \sqrt{p_1^2 + p_2^2} = \sqrt{(-p_1)^2 + (-p_2)^2} = d(P^*, O)$$

□

Ejemplo 3.1. El centro de simetría de una circunferencia de radio r coincide con su centro natural. Supongamos que $P = (p_1, p_2)$ pertenece a la circunferencia con centro en el origen y radio r , entonces

$$p_1^2 + p_2^2 = r^2 \implies (-p_1)^2 + (-p_2)^2 = r^2$$

Por teorema 3.1 la circunferencia con centro en el origen tiene simetría central con respecto a su centro. Usando traslaciones, podemos inferir que el centro de simetría de la circunferencia (2.1) es (h, k)

Los puntos simétricos de una figura están a la misma distancia del eje de simetría en direcciones opuestas de manera que la recta que une al punto y su simétrico es perpendicular al eje de simetría. Veremos dos maneras de definir la simetría axial, primero, mediante estas propiedades y luego veremos más adelante una definición usando transformaciones la cual denominaremos reflexión.

Definición 3.2. Una figura \mathcal{F} es simétrica con respecto a una recta l si para cada punto $P \in \mathbb{R}^2$ existe un $P^* \in \mathbb{R}^2$ tal que

- i) $\overline{PP^*} \perp l$
- ii) $d(P, l) = d(P^*, l)$

Luego l es un eje de simetría y \mathcal{F} tiene simetría axial respecto a l .

Teorema 3.2. Si $P = (p_1, p_2) \in \mathbb{R}^2 \implies P^* = (-p_1, p_2) \in \mathbb{R}^2$ si y solo si, la figura es simétrica con respecto al eje Y del plano cartesiano.

Prueba. La pendiente de la recta que contiene al segmento $\overline{PP^*}$ es

$$m = \frac{p_2 - p_2}{p_1 + p_1} = 0$$

lo que indica que esta sobre una recta horizontal y es perpendicular al eje Y

$$d(P, l) = \left| \frac{(p_1) + 0(p_2) + 0}{\sqrt{1^2 + 0}} \right| = \left| \frac{p_1}{1} \right| = \left| \frac{-p_1}{1} \right| = \left| \frac{(-p_1) + 0(p_2) + 0}{\sqrt{1^2 + 0^2}} \right| = d(P^*, l)$$

□

Ejemplo 3.2. Un triángulo isósceles tiene simetría axial con respecto a la mediatrix de la base o lado desigual. Consideremos el triángulo con vértices (p_1, p_2) , $(-p_1, p_2)$ y $(0, p_3)$ con $p_3 \neq p_2$. Según el teorema 3.2 la mediatrix que coincide con el eje Y es una recta de simetría axial para el triángulo, porque para todo punto $P \in \mathcal{F}$ implica que $P^* \in \mathcal{F}$.

Definición 3.3. La simetría rotacional es una transformación lineal que manda al vector (p_1, p_2) asociado al punto (x, y) otro vector (p_1^*, p_2^*) asociado a un punto final que resultará de la rotación de un θ (en sentido antihorario respecto al eje X positivo) y de la matriz

$$\begin{pmatrix} \cos(\theta) & -\sin(\theta) \\ \sin(\theta) & \cos(\theta) \end{pmatrix} \quad (3.1)$$

Por ejemplo, si rotamos un cuadrado con respecto a su centro (intersección de sus diagonales) con ángulos de 90° , 180° , 270° y 360° , obtendríamos el mismo cuadrado. Supongamos que $P_1 = (1, 1)$ es la esquina superior derecha del cuadrado, hacemos una rotación de 90° ese punto se transformaría en el punto de la esquina superior izquierda mediante la operación

$$\begin{pmatrix} \cos(90^\circ) & -\sin(90^\circ) \\ \sin(90^\circ) & \cos(90^\circ) \end{pmatrix} \begin{pmatrix} 1 \\ 1 \end{pmatrix} = \begin{pmatrix} -1 \\ 1 \end{pmatrix}$$

y entonces $P^* = (-1, 1)$. Lo mismo aplica para todos los puntos de la figura obteniendo el mismo cuadrado pero rotado a 90° .

Esta matriz tiene determinante igual a 1, al contrario de la reflexión cuyo determinante es -1.

Definición 3.4. La matriz de reflexión respecto al eje X , es la transformación

$$\begin{pmatrix} 1 & 0 \\ 0 & -1 \end{pmatrix}$$

y es una reflexión con respecto al eje Y cuando

$$\begin{pmatrix} -1 & 0 \\ 0 & 1 \end{pmatrix}$$

A continuación, veremos como luciría lo anterior en \mathbb{R}^3 . Se presentarán tres definiciones, junto con tres teoremas asociados.

Definición 3.5. Sea \mathbb{S} una superficie y O un punto en el espacio. Entonces \mathbb{S} tiene simetría central con respecto a O si y solo si, para cada $P \in \mathbb{S}$ existe un $P^* \in \mathbb{S}$ tal que

- i) O, P, P^* son colineales.
- ii) $d(O, P) = d(O, P^*)$

Teorema 3.3. Si $P = (p_1, p_2, p_3) \in \mathbb{S} \implies P^*(-p_1, -p_2, -p_3) \in \mathbb{S}$ si y solo si $O = (0, 0, 0)$ es centro de simetría de \mathbb{S} .

Prueba. i) Sea la recta $L : (x, y, z) = (0, 0, 0) + t(p_1, p_2, p_3)$ Evaluando t en $0, 1, -1$ se demuestra que O, P, P^* pertenecen a L y por lo tanto son colineales.

$$\begin{aligned} ii) \quad d(O, P) &= \sqrt{(p_1 - 0)^2 + (p_2 - 0)^2 + (p_3 - 0)^2} \\ &= \sqrt{(-p_1 - 0)^2 + (-p_2 - 0)^2 + (-p_3 - 0)^2} = d(O, P^*) \end{aligned}$$

□

Ejemplo 3.3. Los paraboloides no tienen centro de simetría. Sea \mathbb{S} un paraboloide elíptico. Supongamos que $P = (p_1, p_2, p_3) \in \mathbb{S}$, por 2.5 se tiene

$$c(p_3 - j) = \frac{(p_1 - h)^2}{a^2} + \frac{(p_2 - k)^2}{b^2}$$

Realizamos una traslación al origen, de tal manera que tenemos una superficie \mathbb{S}^* igual a

$$cp_3 = \frac{p_1^2}{a^2} + \frac{p_2^2}{b^2} = \frac{(-p_1)^2}{a^2} + \frac{(-p_2)^2}{b^2} = -cp_3$$

Lo cual es una contradicción. Luego, $P^* = (-p_1, -p_2, -p_3) \notin \mathbb{S}^*$. Por teorema 3.3, \mathbb{S}^* no tiene que simetría central con respecto al $(0, 0, 0)$ y al trasladarnos implicaría que (h, k, j) no es un punto de simetría central de \mathbb{S} . De hecho el exponente impar de una de las variables de las superficies garantiza la no existencia de puntos de simetría central.

Definición 3.6. Sea \mathbb{S} una superficie y l una recta en el espacio. Entonces \mathbb{S} tiene simetría axial con respecto a l si y solo si para cada punto $P \in \mathbb{S}$ existe $P^* \in \mathbb{S}$ tal que:

- i) $\overline{PP} \perp l$
- ii) $d(P, l) = d(P^*, l)$

Teorema 3.4. Si $P = (p_1, p_2, p_3) \in \mathbb{S} \implies P^* = (p_1, -p_2, -p_3) \in \mathbb{S}$ si y solo si \mathbb{S} es simétrico con respecto al eje X .

Prueba. i) La recta que contiene al segmento \overline{PP} viene dada por

$$l : (x, y, z) = (p_1, p_2, p_3) + t(p_1 - p_1, p_2 - p_2, p_3 - p_3).$$

Por otra parte, el eje X está dada por la recta $(x, y, z) = (0, 0, 0) + t(1, 0, 0)$. Por lo tanto, el producto punto de sus vectores directores es cero. Luego, son ortogonales.

ii) La distancia entre P y la recta y la recta y P^* son las mismas. Llamemos \vec{v} al vector director de la recta o eje X ,

$$\begin{aligned} d(P, l) &= \frac{\|\overline{OP} \times \vec{v}\|}{\|\vec{v}\|} = \frac{\left\| \det \begin{pmatrix} \vec{i} & \vec{j} & \vec{k} \\ p_1 & p_2 & p_3 \\ 1 & 0 & 0 \end{pmatrix} \right\|}{\sqrt{1^2 + 0^2 + 0^2}} \\ &= \|(0, p_3, -p_2)\| = \|(0, -p_3, p_2)\| = d(P^*, l) \end{aligned}$$

□

Definición 3.7. Sea \mathbb{S} una superficie y π un plano. Entonces \mathbb{S} es simétrica con respecto al plano si y solo si para cada $P \in \mathbb{S}$ existe un $P^* \in \mathbb{S}$ tal que

- i) $\overline{PP^*}$ es ortogonal a π
- ii) $d(P, \pi) = d(P^*, \pi)$

Teorema 3.5. Si $P = (p_1, p_2, p_3) \in \mathbb{S} \implies P^* = (-p_1, p_2, p_3) \in \mathbb{S}$ si solo si \mathbb{S} es simétrica con respecto al plano YZ , o en otras palabras el plano en su ecuación general $x = 0$.

Prueba. i) El vector director de la recta que contiene a los puntos P y P^* es $(2p_1, 0, 0)$ y el del plano es $(1, 0, 0)$, obteniendo cero al calcular el producto punto de ambos. Se concluye que $\overline{PP^*}$ es ortogonal a π .

ii) La norma del vector director del plano $x = 0$ es 1.

$$d(P, x = 0) = \left\| \frac{1(p_1) + 0(p_2) + 0(p_3) + 0}{1} \right\| = |p_1| = |-p_1| = d(P^*, x = 0)$$

□

Ejemplo 3.4. La superficie cuadrática escrita en su forma general

$$48x^2 + 32y^2 - 24z^2 + 96x - 320y - 960z - 8994 = 0$$

tiene eje de simetría

$$l : (x, y, z) = (-1, 5, -20) + t(0, 0, 1)$$

y por otra parte $x = -1$, $y = 5$ $z = -20$ son planos de simetría del hiperboloide de una hoja.

Primero procedemos a escribir la superficie en su forma estándar o canónica factorizando y completando cuadrados.

$$48(x^2 + 2x) + 32(y^2 - 10y) - 24(z^2 + 40z) = 8994$$

$$48(x+1)^2 + 32(y-5)^2 - 24(z+20)^2 = 8994 + 48(1)^2 + 32(5)^2 - 24(20)^2 = 192$$

Dividimos todo en 192 obteniendo

$$\frac{(x+1)^2}{4} + \frac{(y-5)^2}{6} - \frac{(z+20)^2}{8} = 1$$

usando una traslación al origen y los teoremas 3.4 y 3.5 podemos garantizar lo requerido puesto que los cuadrados en las variables implica que si colocamos algún negativo, el cuadrado lo anularía.

En efecto, trasladamos al origen. Obtenemos

$$\frac{x^2}{4} + \frac{y^2}{6} - \frac{z^2}{8} = 1 \quad (3.2)$$

Si suponemos que $P = (p_1, p_2, p_3)$ pertenece al hiperboloide trasladado (3.2) se verifica que $P^* = (-p_1, -p_2, p_3)$ también pertenece y, por consiguiente, el eje Z es un eje de simetría. De igual manera $P^* = (-p_1, p_2, p_3)$, $P^* = (p_1, -p_2, p_3)$ y $P^* = (p_1, p_2, -p_3)$ implicaría que los planos $x = 0$, $y = 0$, $z = 0$ son planos de simetría del hiperboloide trasladado. Regresandonos de la traslación se obtiene lo deseado.

4 Modelado matemático de estructuras arquitectónicas

4.1 Panteón de Agripa: Simetría D_8

El Panteón de Agripa, reconstruido por Adriano (118-125 d.C.), es paradigmático por su simetría estructural y carga simbólica. Su cúpula, de 43.3 m de diámetro con casetones concéntricos y un óculo central, no solo optimiza la distribución de tensiones mediante una geometría octogonal implícita, sino que también proyecta patrones lumínicos invariantes bajo rotaciones, encarnando el ideal romano de orden cósmico [4, 5]. Esta disposición, modelable mediante el grupo diédrico D_8 , será la base para nuestro análisis algebraico. La cúpula del Panteón idealiza un octágono regular en planta, cuyo grupo de simetría explica la distribución equitativa de tensiones estructurales.

Matricialmente, las generadoras son:

$$\rho_{\pi/4} = \begin{pmatrix} \cos \frac{\pi}{4} & -\sin \frac{\pi}{4} & 0 \\ \sin \frac{\pi}{4} & \cos \frac{\pi}{4} & 0 \\ 0 & 0 & 1 \end{pmatrix}, \quad \sigma_h = \begin{pmatrix} 1 & 0 & 0 \\ 0 & 1 & 0 \\ 0 & 0 & -1 \end{pmatrix} \quad (4.1)$$

Para cuantificar la ventaja estructural que confiere la simetría, se implementó un modelo numérico simplificado mediante el Método de Elementos Finitos (MEF) explicado en [11]. Se comparó el comportamiento de un pórtico planar bajo carga gravitacional y lateral, en dos configuraciones: una simétrica (D_2) y otra asimétrica.

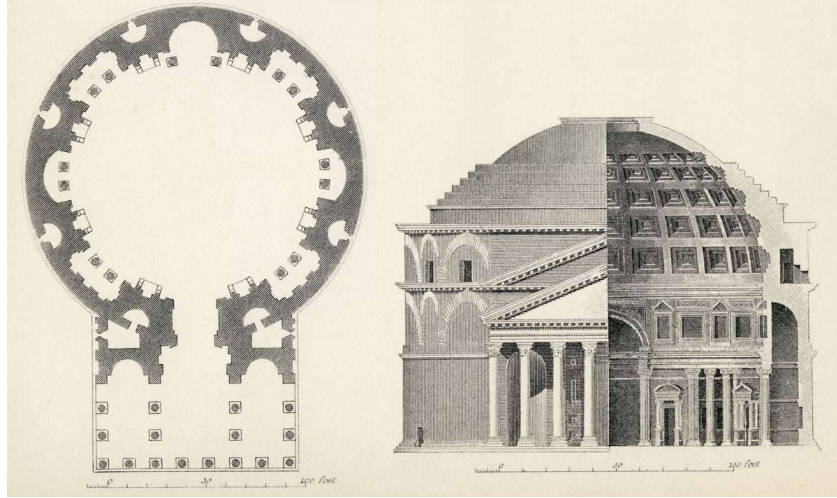


Figura 1: Panteón de Agripa.[4]

Cada barra $e = (i, j)$ une los nudos i y j con longitud L_e y dirección $(c, s) = (\cos \theta, \sin \theta)$. El elemento es axial, por lo que su matriz de rigidez en coordenadas globales es

$$k_e = \frac{EA}{L_e} \begin{bmatrix} c^2 & cs & -c^2 & -cs \\ cs & s^2 & -cs & -s^2 \\ -c^2 & -cs & c^2 & cs \\ -cs & -s^2 & cs & s^2 \end{bmatrix}, \quad (c, s) = \left(\frac{\Delta x}{L_e}, \frac{\Delta y}{L_e} \right), \quad (4.2)$$

donde E es el módulo de elasticidad y A el área de la sección transversal. La rigidez global K se obtiene por ensamblaje estándar de (4.2) sobre los grados de libertad de cada nudo. El sistema lineal a resolver es

$$K u = F, \quad (4.3)$$

con u el vector de desplazamientos nodales y F el vector de cargas nodales. Las reacciones aparecen al recuperar los esfuerzos en apoyos. Para cada barra, el esfuerzo axial (convención: + tracción, - compresión) se calcula como

$$N_e = \frac{EA}{L_e} [-c, -s, c, s] \cdot u_e, \quad (4.4)$$

siendo u_e el vector de desplazamientos de los dos nudos extremos del elemento, reordenado en el sistema global.

Se consideran cuatro nudos (A, B, C, D) formando un marco rectangular en el caso simétrico D_2 , y una traslación del pilar izquierdo en el caso asimétrico:

Caso simétrico (D_2): $A(-1, 0), B(-1, 2), C(1, 2), D(1, 0)$.

Caso asimétrico: $A(-0.5, 0), B(-0.5, 2), C(1, 2), D(1, 0)$.

Se usan las barras perimetrales y dos diagonales (arriostramiento en X) para evitar mecanismos:

$$E = \{AB, BC, CD, DA, AC, BD\}.$$

Se considera los apoyos traslacionales en la base como

$$u_A = u_D = (0, 0).$$

y las cargas nodales

$$F_y(A) = F_y(B) = F_y(C) = F_y(D) = -500, \quad F_x(B) = +1000,$$

que representan, respectivamente, peso propio simplificado y viento en el nudo B.

Supongamos además,

$$E = 210 \text{ GPa}, \quad A = 1 \text{ cm}^2 = 1 \times 10^{-4} \text{ m}^2.$$

En la Tabla 1 y 2 se listan L_e y (c, s) para sustituir directamente en (4.2).

Tabla 1: Caso simétrico D_2 .

Elemento	L_e (m)	$c = \cos \theta$	$s = \sin \theta$
AB	2.0000	0.0000	+1.0000
BC	2.0000	+1.0000	0.0000
CD	2.0000	0.0000	-1.0000
DA	2.0000	-1.0000	0.0000
AC	2.8284	+0.7071	+0.7071
BD	2.8284	+0.7071	-0.7071

Tabla 2: Caso asimétrico.

Elemento	L_e (m)	$c = \cos \theta$	$s = \sin \theta$
AB	2.0000	0.0000	+1.0000
BC	1.5000	+1.0000	0.0000
CD	2.0000	0.0000	-1.0000
DA	1.5000	-1.0000	0.0000
AC	2.5000	+0.6000	+0.8000
BD	2.5000	+0.6000	-0.8000

Se ensambló K para el caso simétrico a partir de (4.2), obteniéndose

$$\left(\begin{array}{ccccccc} 14212346 & 3712346 & 0 & 0 & 3712346 & 3712346 & -10500000 & 0 \\ 3712346 & 14212346 & 0 & -10500000 & 3712346 & 3712346 & 0 & 0 \\ 0 & 0 & 14212346 & -3712346 & -10500000 & 0 & -3712346 & 0 \\ 0 & -10500000 & -3712346 & 14212346 & 0 & 0 & 3712346 & -3712346 \\ 3712346 & -3712346 & -10500000 & 0 & 14212346 & 3712346 & 0 & 0 \\ 3712346 & 3712346 & 0 & 0 & 3712346 & 14212346 & 0 & -10500000 \\ -10500000 & 0 & -3712346 & 3712346 & 0 & 0 & 14212000 & -3712346 \\ 0 & 0 & 3712346 & -3712346 & 0 & -10500000 & -3712346 & 14212346 \end{array} \right)$$

se impusieron las restricciones en A y D y se resolvió (4.3) para los cuatro grados de libertad libres $\{u_{Bx}, u_{By}, u_{Cx}, u_{Cy}\}$. Luego,

$$\begin{pmatrix} 14212346 & -3712346 & -10500000 & 0 \\ -3712346 & 14212346 & 0 & 0 \\ -10500000 & 0 & 14212346 & 3712346 \\ 0 & 0 & 3712346 & 14212346 \end{pmatrix} \begin{pmatrix} u_{Bx} \\ u_{By} \\ u_{Cx} \\ u_{Cy} \end{pmatrix} = \begin{pmatrix} 1000 \\ -500 \\ 0 \\ -500 \end{pmatrix}$$

Los desplazamientos se reportan en milímetros (mm) y los esfuerzos axiales de barra a partir de (4.4) en Newtons (N). Por lo tanto,

$$\begin{pmatrix} u_{Bx} \\ u_{By} \\ u_{Cx} \\ u_{Cy} \end{pmatrix} = \begin{pmatrix} 0.1979 \\ 0.0165 \\ 0.1667 \\ -0.0787 \end{pmatrix}$$

Los desplazamientos nodales (mm) son

$$\mathbf{D}_2 : \quad B : (0.1979, 0.0165), \quad C : (0.1667, -0.0787)$$

De igual manera, se puede verificar

$$\text{Asim.:} \quad B : (0.2624, 0.0352), \quad C : (0.2376, -0.0919).$$

Obteniendo una norma euclídea de desplazamientos como indicador de deformabilidad global

$$\|\mathbf{u}\|_2 = \mathbf{0.271} \text{ mm } (\mathbf{D}_2), \quad \|\mathbf{u}\|_2 = \mathbf{0.367} \text{ mm } (\text{asim.}).$$

Los esfuerzos axiales por barra son

	<i>AB</i>	<i>BC</i>	<i>CD</i>	<i>DA</i>	<i>AC</i>	<i>BD</i>
\mathbf{D}_2	+173	-328	-826	0	+462	-952
Asim.	+370	-347	-964	0	+580	-1086

En negrita se señalan los picos por caso; se observa que la asimetría incrementa el máximo absoluto de esfuerzo, por ejemplo, en la barra *BD* ($\approx 14\%$ más) y en la deformación global ($\approx 35\%$ más) bajo las mismas cargas y propiedades.

La configuración D_2 redistribuye las tensiones, los caminos de carga simétricos reducen los grados de libertad flexibles del sistema ensamblado y limitan la aparición de concentraciones de esfuerzo. La rotura de simetría desplazamiento del pilar izquierdo induce trayectorias excéntricas de carga: el arriostramiento diagonal derecho recibe mayor demanda y la norma de desplazamientos aumenta. Esta evidencia numérica respalda que la simetría no es sólo una propiedad geométrica elegante, sino un principio estructural que tiende a optimizar rigidez y distribución de tensiones.

El salto conceptual a D_8 consiste en replicar el módulo D_2 por rotación de 45° en planta. En un anillo de ocho sectores, el ensamblaje de rigideces exhibe bloques rotacionalmente equivalentes y condiciones periódicas que suavizan los desplazamientos relativos entre sectores y aplana los picos de esfuerzo. Esta modularidad por simetría es consistente con estrategias de modelado numérico para edificaciones históricas, donde el uso de periodicidad y subestructuras reduce incertidumbres



Figura 2: Fachada del museo Soumaya, México [9]

locales y mejora la estabilidad global [8]. En términos del grupo, tanto las rotaciones como las reflexiones de D_8 restringen las formas admisibles de u en (4.3). Por otra parte, sería interesante profundizar sobre cómo las características simétricas del Museo Soumaya de México no sólo la hace hermosa a la vista sino que también da otro plus. Su hexarotación en fachada [9] se determina por la matriz

$$\rho_{2\pi/6} \cdot \mathbf{v} = \begin{pmatrix} \cos \theta & -\sin \theta & 0 \\ \sin \theta & \cos \theta & 0 \\ 0 & 0 & 1 \end{pmatrix} \mathbf{v}, \quad \theta = \frac{2\pi}{6}$$

y optimiza la conservación y durabilidad de todo el edificio [9].

En conclusión, este artículo indica que el estudio algebraico de las simetrías, mediante grupos de transformaciones como D_n y $O(3)$, trasciende el ámbito teórico para constituir una herramienta poderosa en el análisis geométrico y estructural. La clasificación de cónicas y superficies cuadráticas a través de sus invariantes sienta las bases para un marco analítico riguroso. La aplicación de este marco al Panteón de Agripa y al Museo Soumaya revela que la simetría axial y rotacional no es un mero recurso estético, sino un principio fundamental de eficiencia estructural y funcional. El modelo de elementos finitos confirma cuantitativamente que la configuración D_8 del Panteón optimiza la distribución de tensiones y limita las deformaciones, mientras que la simetría hexagonal del Soumaya sugiere una optimización lumínica. Así, se establece un puente indisociable entre la abstracción del álgebra, la precisión de la geometría y la innovación en el diseño arquitectónico, abriendo puertas a futuras investigaciones interdisciplinarias.

Referencias

- [1] Pizlo, Z.; de Barros, J. A. (2021). *The Concept of Symmetry and the Theory of Perception* PLOS Computational Biology, 17(9), doi: 10.3389/fncm.2021.681162.

- [2] Zhan, W.; Zeng, W.; Yao, Y.; Fang, X.; Li, D. (2024). On the symmetric transformation with geometric constraints. *Geo-spatial Information Science*, 27(2). <https://doi.org/10.1080/10095020.2024.2343012>.
- [3] T. Garrity, R. Belshoff, J. Boos, J. Brown, and M. Lienert, *Algebraic Geometry: A Problem Solving Approach*, vol. 66. Providence, RI: American Mathematical Society, 2019. <https://bookstore.ams.org/stml-66/>
- [4] Á. Sala *El templo de agripa: un maravilloso panteón que sobrevive al paso del tiempo*.
- [5] Caballero Díaz, F. (2025). Las obras maestras de Roma. *MAD.RID Revista de Innovación Didáctica*, No. 90, pp. 10–37.
- [6] Weisstein, Eric. *Quadratic curve discriminant*. Wolfram mathword. <https://mathworld.wolfram.com/QuadraticCurveDiscriminant.html>
- [7] Gallier, J.; Quaintance, J.; *Differential Geometry and Lie Groups*, Springer, 2020.
- [8] Sala, A. ; *El templo de Agripa: El maravilloso Panteón que sobrevive al paso del tiempo*, National Geographic, 2024.
- [9] Cruz, D. (2019, Abril 17). *Museo Soumaya / FR-EE (Fernando Romero Enterprise)*. ArchDaily. ISSN 0719-8884. <https://www.archdaily.com/452226/museo-soumaya-fr-ee-fernando-romero-enterprise>
- [10] T. Garrity, R. Belshoff, J. Boos, J. Brown, and M. Lienert, *Algebraic Geometry: A Problem Solving Approach*, vol. 66. Providence, RI: American Mathematical Society, 2019. <https://bookstore.ams.org/stml-66/>
- [11] Logan, Daryl. L. *A first course in the finite element method* 6th edición. Cengage learning.